

УДК 532.546+551.212

МАТЕМАТИЧЕСКОЕ МОДЕЛИРОВАНИЕ ЗАПОЛНЕНИЯ ТРЕЩИНЫ МАГМОЙ¹

А. А. Радионов

Решается задача о заполнении образовавшейся над магматической камерой вертикальной трещины с учетом наличия газовой подушки. Рассматриваются зависимость этого процесса от двух параметров — массы газа в газовой подушке и вязкости расплава. Показана возможность реализации колебательных режимов течения расплава в трещине.

Ключевые слова: математическое моделирование, магматический расплав, заполнение трещины.

Образование даек и увеличение их длины рассмотрено в работе [9]. Там предполагается, что раскрывающаяся трещина мгновенно заполняется магмой. В действительности, особенно при наличии микротрещин в породе, время раскрытия относительно большой трещины может быть существенно меньше, чем время заполнения ее магмой. При этом происходит дегазация магмы и пустующую область трещины заполняет газ, наличие которого может значительно повлиять на движение магмы. В настоящей работе решается задача о заполнении вертикальной трещины с учетом наличия газовой подушки, и рассматриваются возможные режимы этого процесса.

Рассматривается влияние двух параметров — начальной массы газа в газовой подушке и вязкости магматического расплава, изменение которых определяет условия, при которых вероятно дальнейшее растрескивание земной коры и продвижение магмы к поверхности земли.

1. Математическая модель

Рассматривался поднимающийся вертикально столб магматического расплава, заполняющий уже существующую трещину, и вводилась вертикальная координата z меняющаяся от 0 до 1 внутри этого столба. Она связана с вертикальной координатой Z меняющейся от 0 до высоты трещины, начало которой совпадало с точкой сопряжения трещины и магматической камеры, следующим соотношением:

$$Z = h(t)z,$$

© 2007 Радионов А. А.

¹Работа выполнена в рамках темы «Математическое моделирование геофизических процессов вулканических центров Центрального Кавказа», программа фундаментальных исследований ОНЗ РАН «развитие технологий мониторинга, экосистемное моделирование и прогнозирование при изучении природных ресурсов в условиях аридного климата».

где $h(t)$ — высота столба магмы. При таком преобразовании координат частная производная по времени от функции $f(t, Z(t))$ принимает вид:

$$\frac{\partial f(t, Z(t))}{\partial t} = \frac{\partial f(t, z)}{\partial t} + \frac{z}{h(t)} \frac{\partial f(t, z)}{\partial z} \frac{dh(t)}{dt},$$

а производная по координате от этой функции:

$$\frac{\partial f(t, Z(t))}{\partial Z} = \frac{1}{h(t)} \frac{\partial f(t, z)}{\partial z}.$$

Уравнение движения приводилось к безразмерному виду. Для этого были введены следующие безразмерные переменные (штрихом отмечены размерные переменные, нулем — их масштабы).

Для плотности $\rho = \frac{\rho'}{\rho'_0}$, ρ'_0 — начальная плотность магмы. Для вертикальной координаты $z = \frac{z'}{z'_0}$, где z'_0 — высота трещины, d'_0 — характерная ширина трещины. Для давления газа и магмы соответственно $p_g = \frac{p'_g}{p'_0}$, $p = \frac{p'}{p'_0}$, где p'_0 — литостатическое давление на глубине залегания камеры. Для вязкости расплава $\mu = \frac{\mu'}{\mu'_0}$, μ'_0 — вязкость исходной магмы ($\mu'_0 \approx 10^{4,5} \div 10^{5,5}$ Па·с) [1, 3, 7]; для скорости $V_h = \frac{V'_h}{V'_{h_0}}$, $V'_{h_0} = \frac{\mu'_0}{z'_0}$ — масштаб скорости; для времени $t = \frac{t'}{t'_0}$, где $t'_0 = \frac{z'^2}{\mu'^2}$ — масштаб времени. Масштабной величиной массы газа m'_0 , которая находится в образовавшейся трещине, принималась масса растворенных летучих в магматическом расплаве, занимающем объем равный одной трети объема трещины.

Скорость поднимающегося столба магмы V_h находилась из решения уравнения переноса импульса, записанного для столба магматического расплава (все величины, кроме безразмерных параметров, зависят только от времени t):

$$\frac{dV_h}{dt} + \frac{(V_h)^2}{h} = -Eu \frac{\Delta p}{h} - Eg - \lambda Ar V_h, \quad (1)$$

с начальным условием $V_h = 0$.

Решение определяют следующие безразмерные параметры:

$$Eu = \frac{p'_0 z'^2}{\rho'_0 \mu'^2}, \quad Eg = \frac{g' z'^3}{\mu'^2}, \quad Ar = \frac{z'^2}{\rho'_0 d'_0},$$

где g' — ускорение свободного падения, $\delta p = p_{gt} - p_0$ — перепад давления между газом, находящимся над столбом магматического расплава и давлением в магматическом очаге, λ — безразмерная величина, зависящая от формы трещины, в случае цилиндрической трещины $\lambda = 8$. Давление газа p_{gt} над столбом магмы зависит от высоты $h(t)$ и находится из выражения, полученного из уравнения состояния Менделеева — Клайперона

$$p_{gt} = \frac{m'_0 R' T'_0}{\pi d'^2 z'_0 p'_0} \frac{m}{1 - h},$$

где m — масса газа, выделившаяся при дегазации магмы в момент образования трещины. Предполагалось, что трещину заполняют пары воды с характеристиками, взятыми при температуре 1250°C и давлении 120 МПа.

Высота $h(t)$ столба магмы находилась интегрированием по времени полученной из уравнения (1) скорости подъема V_h , с начальным условием $h = 0,01$.

Процесс подъема расплава ввиду большой скорости можно считать адиабатическим. Температура магматического расплава меняется при этом из-за его дегазации и кристаллизации. Массовое содержание растворенной газообразной фазы $c(p, T)$ зависит от давления, которое в момент образования трещины скачкообразно падает от значения давления в магматической камере практически до нуля. Предполагалось, что магматический расплав дегазируется не только в приповерхностном слое, но и в достаточно большом объеме внутри очага, прилегающем к поверхности под образовавшейся трещиной [1, 2, 4]. При изменении температуры расплава во время подъема происходит также выделение твердой фазы в виде кристаллов, что, несомненно, влияет на температуру расплава и, соответственно, на его вязкость [4]. Однако в первом приближении можно предполагать температуру и, следовательно, вязкость поднимающегося расплава неизменными, и решать изотермическую задачу. Такая ситуация может быть связана с незначительными перепадами температуры и содержания летучих по высоте столба магмы в трещине.

Уравнение (1) решалось численно методом конечных разностей, использовалась схема Рунге — Кутта второго порядка точности. В расчетах изучалось поступление магматического расплава в цилиндрическую трещину, образовавшуюся в верхней части магматической камеры на глубине 4000 м. Применялась центральная схема второго порядка точности по времени с простыми итерациями Ньютона [6].

Магматический расплав рассматривался как ньютоновская жидкость, плотность и вязкость полагались постоянными и выбирались в интервале условий $T = 600^\circ - 1000^\circ\text{C}$ и $p = 100 - 400 \text{ МПа}$. Плотность магматического расплава принималась равной $\rho'_0 = 2200 (\text{кг}/\text{м}^3)$, вязкость исходной магмы $\mu'_0 \approx 10^{4,5} \div 10^{5,5} (\text{Па}\cdot\text{с})$, начальное содержание летучих ($c_0 = 0,05$). Трещина предполагалась заполненной газовой фазой, температура которой равняется температуре магмы. Расчет начинался в момент, когда расплав уже заполнил 1% высоты образовавшейся трещины. Высота трещины принималась равной $z'_0 = 100 \text{ м}$, а радиус $d'_0 = 20 \text{ м}$. Масса газа m в трещине над поднимающимся столбом магматического расплава считалась неизменной и равной начальной массе газа, выделившейся при дегазации магмы в момент образования трещины. Вторым параметром, входящим в безразмерные комплексы уравнения (1), является вязкость магматического расплава $\mu(p, T)$, которая принималась неизменной и равной вязкости расплава в момент образования трещины.

На нижней границе расчетной области, через которую расплав втекает в нее, давление задавалось постоянным. Безразмерное значение давления p_0 на нижней границе принималось в 1,3 раза большим литостатического.

2. Результаты расчетов

Столб магмы в трещине, почти заполнив ее, совершает затухающие колебания с амплитудой и частотой, зависящими от массы газа в газовой подушке над магмой. Газовая подушка не исчезает и давление газа в ней колеблется. При малой массе газа m эти колебания имеют большую амплитуду, чем при больших значениях этой массы. Характерная зависимость давления, отнесенного к литостатическому, от времени представлена на рис. 1 (время измеряется в секундах). Видно, что давление в верхней части трещины при заполнении ее магмой может значительно превысить литостатическое. Это происходит в момент максимального сближения магмы с верхней границей трещины. Газовая

фаза сжимается, и энергия этого сжатия компенсирует кинетическую энергию движения столба магматического расплава. В результате расплав, не достигая верхней границы трещины, останавливается и совершают затухающие колебания. Сила, действующая на элемент поверхности расплава со стороны газовой подушки, в равной степени приложена также и к верхней границе трещины. Такие пульсации давления в газовой подушке, вероятно, фиксируются на поверхности земли в виде упругих волн. При значительной величине давления в газовой подушке возможно дальнейшее растрескивание земной коры и продвижение трещины к поверхности земли. После затухания колебаний давление в газовой подушке стабилизируется и устанавливается значение, уравновешивающее совместно с весом столба магмы давление в магматическом очаге.

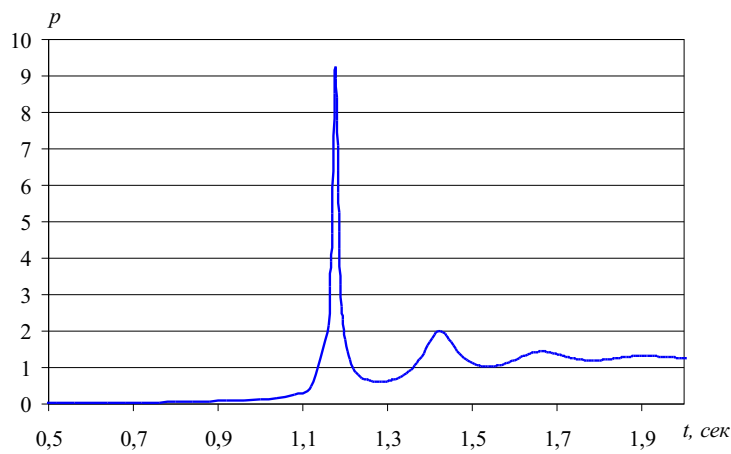


Рис. 1. Изменение давления в газовой подушке с течением времени после образования трещины при $m = 1,8$ и вязкости расплава $\mu'_0 = 10^5$. Время выражено в секундах.

На рис. 2 приведена зависимость максимального давления в газовой подушке от массы газа в ней, а на рис. 3 — зависимость частоты колебаний давления в газовой подушке от этой массы. Чем меньше начальная масса газа над магмой, тем большее превышение давления над литостатическим наблюдается в газовой подушке и с ростом начальной массы газа частота колебаний увеличивается. При $m < 1,2$ и вязкости расплава $\mu'_0 = 10^5$ максимальная амплитуда колебаний давления может превышать литостатическое давление в несколько тысяч раз. По всей вероятности такие пульсации давления в трещинах в реальных условиях не наблюдаются в связи с большой чувствительностью малого количества газа в газовой подушке к форме верхней границы трещины. В этой связи следует заметить, что рис. 2 отражает зависимость максимально возможной амплитуды колебаний давления в газовой подушке, и при наличии неровностей на верхней границе эта амплитуда будет значительно меньше. При $m < 0,3$ колебаний давления не возникает. Это связано с тем, что такой массы газа недостаточно для остановки движущегося столба магматического расплава. С ростом вязкости время достижения магматическим расплавом верхней границы трещины увеличивается, а амплитуда пульсаций давления уменьшается. При значениях вязкости $\mu'_0 > 10^6$ трение о стенки трещины слишком велико и колебаний давления в газовой подушке не возникает.

В результате вычислительных экспериментов можно сделать вывод о том, что одним из возможных механизмов извержений может являться дальнейшее раскрытие образующихся над магматической камерой трещин при наличии газовой подушки. Вероятность продолжения растрескивания возрастает при незначительной дегазации и относительно

маленькой вязкости магматического расплава. Таким образом, наиболее опасными с точки зрения дальнейшего продвижения к поверхности земли следует признать маловязкие магматические расплавы.

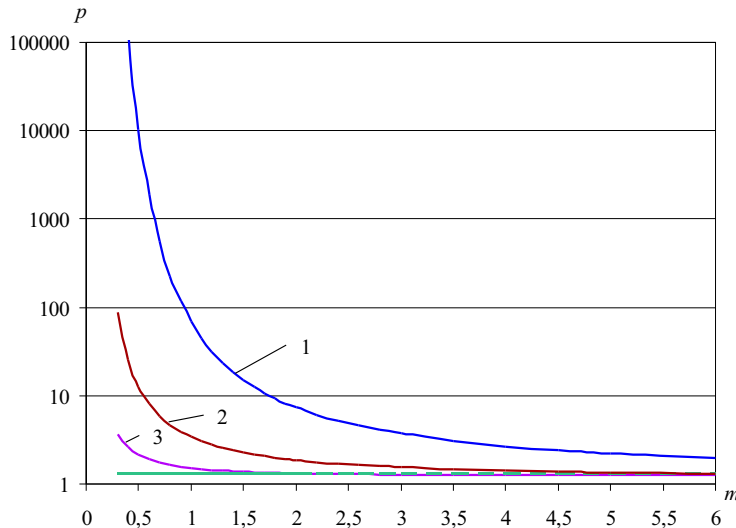


Рис. 2. Зависимость максимального давления в газовой подушке от массы газа. Приведенные кривые соответствуют: 1 — вязкость расплава $\mu'_0 = 10^5$, 2 — вязкость расплава $\mu'_0 = 10^{5,25}$, 3 — вязкость расплава $\mu'_0 = 10^{5,5}$. Горизонтальная линия соответствует давлению в магматической камере.

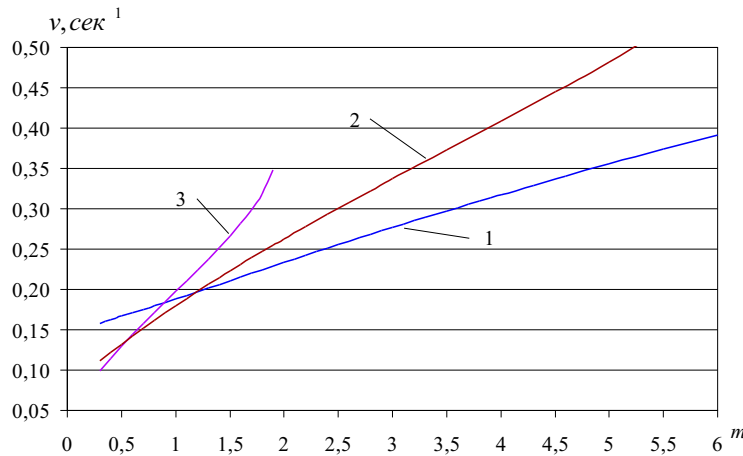


Рис. 3. Зависимость частоты колебаний газовой подушки от массы газа. Приведенные кривые соответствуют: 1 — вязкость расплава $\mu'_0 = 10^5$, 2 — вязкость расплава $\mu'_0 = 10^{5,25}$, 3 — вязкость расплава $\mu'_0 = 10^{5,5}$ (в последнем случае при $m > 2$ колебания не наблюдаются). Частота выражена в размерном виде $1/\text{сек}$.

Дальнейшее развитие представленной математической модели возможно посредством более последовательного учета изменения вязкости расплава, которая в процессе подъема магмы меняется в связи с изменением массовой концентрации растворенных летучих и кристаллизации расплава. Дегазация расплава и образование газовой подушки происходит не мгновенно, это обстоятельство также необходимо учитывать. Возможно также, что некоторое влияние на процесс заполнения трещины окажет ее геометрическая форма.

Литература

1. Melnik O., Sparks R. S. Nonlinear dynamics of lava dome extrusion // Nature.—1999.—V. 402.—P. 37–41.
2. Ритман А. Вулканы и их деятельность.—М.: Мир, 1964.—440 с.
3. Чернов А. А. Об одной модели затвердевания магмы в процессе эксплозивного вулканического извержения // Прикл. механика и тех. физика.—2003.—Т. 44, № 5.—С. 79–89.
4. Dufek J., Bergantz G. W. Transient two-dimensional dynamics in the upper conduit of a rhyolitic eruption: A comparison of closure models for the granular stress // J. of Volcanology and Geothermal Research.—2005.—V. 143.—P. 113–132.
5. Нигматулин Р. И. Динамика многофазных сред.—М.: Наука, 1987.—824 с.
6. Самарский А. А., Попов Ю. П. Разностные методы решения задач газовой динамики.—М.: УРСС, 2004.—423 с.
7. Lyakhovsky V., Hurwitz S., Navon O. Bubble growth in rhyolitic melts: experimental and numerical investigation // Bull Volcanol.—1996.—V. 58.—P. 19–32.
8. Lensky N. G., Lyakhovsky V., Navon O. Radial variations of melt viscosity around growing bubbles and gas overpressure in vesiculating magmas // Earth and Planetary Science Letters.—2001.—V. 186.—P. 1–6.
9. Meriaux C., Jaupart G. Simple fluid dynamic models of volcanic rift zones // Earth and Planetary Science Letters.—1995.—V. 136.—P. 223–240.

Статья поступила 13 января 2007

РАДИОНОВ АНАТОЛИЙ АНАТОЛЬЕВИЧ, к. т. н.
Институт прикладной математики
и информатики ВНЦ РАН
Владикавказ, 362027, РОССИЯ
E-mail: aar200772@mail.ru